

CORSO: TEORIA DEI SISTEMI  
DOCENTE: VINCENZO LIPPIELLO

## Prova scritta del 16/06/2025

### Leggere con attenzione

Il corretto svolgimento del compito prevede che lo studente risponda in maniera chiara ai quesiti proposti e, ove necessario, argomenti i diversi passaggi, espliciti le formule usate, motivi le scelte e non si limiti a riportare i soli risultati dei calcoli.

Alla consegna della prova scritta, l'allievo riceverà la traccia dell'elaborato tecnico da svolgere in ambiente Matlab/Simulink.

Non è consentito consultare appunti o altro materiale, così come è assolutamente vietata ogni forma di collaborazione, pena l'annullamento della prova e il non poter partecipare alla successiva seduta d'esame. Durante la seduta, si forniranno spiegazioni soltanto su quesiti inerenti la comprensione della traccia.

Durata della prova: 3 ore.

1. Si consideri il seguente sistema dinamico LTI a tempo continuo, con  $h, k \in \mathbb{R}$ ,

$$\dot{\mathbf{x}}(t) = \mathbf{A}\mathbf{x}(t) + \mathbf{B}\mathbf{u}(t) = \begin{bmatrix} h & 0 & 0 \\ 0 & k\frac{\sqrt{2}}{2} & -k\frac{\sqrt{2}}{2} \\ 0 & k\frac{\sqrt{2}}{2} & k\frac{\sqrt{2}}{2} \end{bmatrix} \mathbf{x}(t) + \begin{bmatrix} 0 & 0 \\ 1 & -1 \\ 1 & 0 \end{bmatrix} \mathbf{u}(t),$$

$$y(t) = \mathbf{c}\mathbf{x}(t) = [0 \quad -1 \quad 1] \mathbf{x}(t).$$

- Trovare tutte le condizioni di stabilità del sistema al variare dei parametri  $h, k$ . **[Punti: 3]**
  - Si studi al raggiungibilità e l'osservabilità del sistema al variare dei parametri  $h, k$ . Laddove il sistema non fosse in forma minima, e solo per il caso  $k = 0$ , trovare la matrice di trasformazione che porta il sistema in forma canonica di Kalman. **[Punti: 4]**
  - Posti  $h = k = -1$ , considerati  $u_1(t) = 5 \cos(2t)\delta_{-1}(-t)$  e  $u_2(t) = 3$ , si calcoli l'uscita del sistema,  $y(t)$ ,  $\forall t \in \mathbb{R}$ . **[Punti: 8]**
2. Si consideri la funzione  $G(s) = \frac{s+3}{s+2}$ . Si disegnino i diagrammi polari del sistema. **[Punti: 5]**
3. Sia dato il sistema LTI a tempo continuo caratterizzato dalla seguente funzione di trasferimento

$$G(s) = \frac{2}{5} \frac{s(s^2 + 6s + 5)(s + 50)}{(s^2 + 1)(s^2 + 2s + 100)}.$$

Si disegnino i diagrammi asintotici di Bode, apportando le dovute correzioni. **[Punti: 5]**

4. In città è attivo un servizio di monopattini elettrici in due aree principali: la zona A (campus universitario) e zona B (centro storico). Indichiamo con  $x_1(k)$  il numero di monopattini funzionanti in zona A all'anno solare  $k$  e  $x_2(k)$  il numero di monopattini funzionanti in zona B all'anno solare  $k$ . Ogni anno: una frazione  $\alpha_1 x_1(k)$  viene spostata da A a B per ottimizzare la domanda; una frazione  $\alpha_2 x_2(k)$  viene spostata da B ad A per lo stesso motivo; una frazione  $\beta_1 x_1(k)$  viene ritirata per guasti o furti in zona A; una frazione  $\beta_2 x_2(k)$  viene ritirata per guasti o furti in zona B. Inoltre, ogni anno vengono introdotti  $u_1(k)$  monopattini in zona A e  $u_2(k)$  monopattini in zona B. Ogni monopattino operativo in un anno produce un incasso fisso annuale proporzionale a  $\gamma > 0$  per la compagnia. Scrivere il modello discreto i-s-u che descrive l'evoluzione del numero dei monopattini nelle due aree, con uscita,  $y(k)$ , l'incasso annuo. **[Punti: 2]** Con parametri  $\alpha_1 = 0.15$ ,  $\alpha_2 = 0.2$ ,  $\beta_1 = 0.1$ ,  $\beta_2 = 0.08$ , e  $\gamma = 600$ , e ingressi  $u_1(k) = 50\delta_{-1}(k)$  e  $u_2(k) = 30\delta_{-1}(k)$ , verificare l'asintotica stabilità del sistema e, se possibile, calcolare la risposta a regime. **[Punti: 3]**

## Soluzione

### 1 ESERCIZIO

#### Quesito a.

Il polinomio caratteristico della matrice della dinamica,  $A$ , è pari a  $\varphi(\lambda) = (\lambda - h)(\lambda^2 - k\lambda\sqrt{2} + k^2)$ . Gli autovalori sono pari a  $\lambda_1 = h$ ,  $\lambda_{2,3} = \frac{\sqrt{2}}{2}k(1 \pm j)$ , quindi due autovalori complessi coniugati al variare del parametro. Il sistema è asintoticamente stabile quando tutti gli autovalori hanno parte reale negativa, ossia quando  $h < 0 \wedge k < 0$ . Se un solo autovalore ha parte reale positiva il sistema è instabile,  $h > 0 \vee k > 0$ . Il sistema è stabile semplicemente se un autovalore ha parte reale nulla, e molteplicità algebrica singola, e gli altri parte reale negativa, ossia quando  $h = 0 \wedge k < 0$ . Restano da discriminare due casi: il caso  $h = k = 0$  che porta tutti autovalori nulli (molteplicità algebrica tre) e  $h < 0 \wedge k = 0$  con due autovalori nulli (molteplicità algebrica due). Nel primo caso,  $h = k = 0$ , la matrice della dinamica  $A$  è identicamente nulla. Questo è il caso di matrice diagonale con molteplicità geometrica tre, quindi pari a quella algebrica: il sistema è semplicemente stabile. Nel secondo caso,  $h < 0 \wedge k = 0$ , la matrice della dinamica  $A$  assume l'espressione

$$A_1 = \begin{bmatrix} h & 0 & 0 \\ 0 & 0 & 0 \\ 0 & 0 & 0 \end{bmatrix}. \text{ La molteplicità geometrica dei due autovalori nulli è pari a } \nu = 3 - \text{rank}(A_1 - 0I_3) = 3 -$$

$\text{rank}(A_1) = 3 - 1 = 2$ . Quindi, il sistema è semplicemente stabile anche quando  $h < 0 \wedge k = 0$ .

Riepilogando:

- **Asintotica stabilità:**  $h < 0 \wedge k < 0$ .
- **Instabilità:**  $h < 0 \vee k < 0$ .
- **Semplice stabilità:**  $(h = 0 \wedge k \leq 0) \vee (h \leq 0 \vee k = 0)$ .

#### Quesito b.

La raggiungibilità del sistema si può studiare attraverso la seguente matrice

$$M_r = [B \quad AB \quad A^2B] = \begin{bmatrix} 0 & 0 & 0 & 0 & 0 & 0 \\ 1 & -1 & 0 & -\frac{\sqrt{2}}{2}k & -k^2 & 0 \\ 1 & 0 & \sqrt{2}k & -\frac{\sqrt{2}}{2}k & k^2 & -k^2 \end{bmatrix}.$$

Il rango di  $M_r$  è al più due perchè c'è una riga tutta nulla. Quindi il sistema non è completamente raggiungibile. Il rango di  $M_r$  è pari a 2.

L'osservabilità del sistema si può studiare attraverso la seguente matrice

$$M_o = [c^T \quad A^T c^T \quad A^{T^2} c^T] = \begin{bmatrix} 0 & 0 & 0 \\ -1 & 0 & k^2 \\ 1 & \sqrt{2}k & k^2 \end{bmatrix}.$$

Il determinante di  $M_o$  è nullo, quindi il sistema non è completamente osservabile. Il rango di  $M_o$  è pari a 2 quando  $k \neq 0$ , altrimenti è pari a 1.

Considerando il caso  $k = 0$ , per la procedura della scomposizione canonica di Kalman, prendiamo le colonne linearmente indipendenti di  $M_r$ , ossia

$$X_r := \left\langle \begin{bmatrix} 0 \\ 1 \\ 1 \end{bmatrix}, \begin{bmatrix} 0 \\ -1 \\ 0 \end{bmatrix} \right\rangle.$$

Prendiamo anche la colonna linearmente indipendente di  $M_o$  che è

$$X_o :< \begin{bmatrix} 0 \\ -1 \\ 1 \end{bmatrix} >.$$

Calcoliamo ora il nullo di  $M_r^T$  pari a

$$\begin{bmatrix} 0 & 1 & 1 \\ 0 & -1 & 0 \\ 0 & 0 & 0 \\ 0 & 0 & 0 \\ 0 & 0 & 0 \\ 0 & 0 & 0 \end{bmatrix} \begin{bmatrix} z_1 \\ z_2 \\ z_3 \end{bmatrix} = \begin{bmatrix} 0 \\ 0 \\ 0 \end{bmatrix} \Rightarrow z_2 = z_3 = 0 \Rightarrow X_{n,r} :< \begin{bmatrix} 1 \\ 0 \\ 0 \end{bmatrix} >.$$

Calcoliamo ora il nullo di  $M_o^T$  pari a

$$\begin{bmatrix} 0 & -1 & 1 \\ 0 & 0 & 0 \\ 0 & 0 & 0 \end{bmatrix} \begin{bmatrix} z_1 \\ z_2 \\ z_3 \end{bmatrix} = \begin{bmatrix} 0 \\ 0 \\ 0 \end{bmatrix} \Rightarrow z_2 = z_3 \Rightarrow X_{n,o} :< \begin{bmatrix} 0 \\ 1 \\ 1 \end{bmatrix}, \begin{bmatrix} 1 \\ 0 \\ 0 \end{bmatrix} >.$$

Si noti come il nullo ha dimensione due perché la matrice  $M_o^T$  ha rango 1 con dimensione 3.

Si prendano ora le colonne  $X_1 = X_r \cap X_{n,o}$ . Questo insieme è pari a  $X_1 =< \begin{bmatrix} 0 \\ 1 \\ 1 \end{bmatrix} >.$

Si prendano ora le colonne  $X_2 = X_r \cap (X_{n,r} \cup X_o)$ . Questo darà proprio  $X_o$  in quanto si ottiene combinando le colonne di  $X_r$ . Quindi,  $X_2 =< \begin{bmatrix} 0 \\ -1 \\ 1 \end{bmatrix} >.$

Si prendano ora le colonne  $X_3 = X_{n,o} \cap (X_{n,r} \cup X_o)$ . Questo darà proprio  $X_{n,r}$ . Quindi,  $X_3 =< \begin{bmatrix} 1 \\ 0 \\ 0 \end{bmatrix} >.$

Si prendano ora le colonne  $X_4 = X_{n,r} \cap X_o$ . Questo insieme è vuoto perché i vettori sono linearmente indipendenti fra loro.

Dunque, la matrice di trasformazione di Kalman sarà data da

$$T_k^{-1} = [X_1 \quad X_2 \quad X_3] = \begin{bmatrix} 0 & 0 & 1 \\ 1 & -1 & 0 \\ 1 & 1 & 0 \end{bmatrix}.$$

### Quesito c.

La risposta complessiva  $y(t)$  si può suddividere come

$$y(t) = \begin{cases} y_1(t), & t \leq 0, \\ y_2(t), & t > 0, \end{cases}$$

questo a causa della modifica dell'ingresso  $u_1(t)$  che assume la forma

$$u_1(t) = \begin{cases} 5 \cos(2t), & t \leq 0, \\ 0, & t > 0. \end{cases}$$

Si cominci dal caso  $t < 0$  e si provveda a calcolare  $y_1(t)$ . Le matrici della forma i-s-u, dopo aver sostituito il valore  $h = k = -1$ , sono pari a

$$A_2 = \begin{bmatrix} -1 & 0 & 0 \\ 0 & -\frac{\sqrt{2}}{2} & \frac{\sqrt{2}}{2} \\ 0 & -\frac{\sqrt{2}}{2} & -\frac{\sqrt{2}}{2} \end{bmatrix},$$

mentre le altre matrici sono identiche. Il sistema è asintoticamente stabile per i risultati visti precedentemente.

Poiché si presuppone che i segnali siano stati applicati ad un tempo  $t = -\infty$ , qualunque istante di tempo  $t \geq 0$  si consideri, si può presupporre che le evoluzioni libere ed il transitorio si siano già estinti: il sistema è quindi a regime. Il legame fra l'uscita  $y_1(t)$  e l'ingresso  $\mathbf{u}(t)$  è dato dalla seguente funzione di trasferimento

$$\mathbf{W}_1(s) = \mathbf{c}(s\mathbf{I}_2 - \mathbf{A}_2)^{-1}\mathbf{B} = \begin{bmatrix} W_{1,1}(s) & W_{1,2}(s) \end{bmatrix} = \begin{bmatrix} -\frac{\sqrt{2}}{s^2 + \sqrt{2}s + 1} & \frac{s + \sqrt{2}}{s^2 + \sqrt{2}s + 1} \end{bmatrix}.$$

Sapendo che  $Y_1(s) = \mathbf{W}_1(s)\mathbf{U}(s)$ , per il teorema del valore finale e della della risposta armonica si può scrivere

$$y_1(t) = 5|W_{1,1}(2j)|\cos(2t + \arg(W_{1,1}(2j))) + 3W_{1,2}(0) = 1.715\cos(2t + 0.756) + 3\sqrt{2},$$

per  $t \leq 0$ .

Per il prosieguo, sarà utile avere a disposizione anche l'evoluzione dello stato per  $t \leq 0$ . Pertanto, considerando  $\mathbf{H}(s) = (s\mathbf{I}_3 - \mathbf{A}_2)^{-1}\mathbf{B}$  la matrice delle risposte impulsive nello stato, si ottiene

$$\mathbf{H}(s) = \begin{bmatrix} H_{1,1}(s) & H_{1,2}(s) \\ H_{2,1}(s) & H_{2,2}(s) \\ H_{3,1}(s) & H_{3,3}(s) \end{bmatrix} = \begin{bmatrix} 0 & 0 \\ \frac{s + \sqrt{2}}{s^2 + \sqrt{2}s + 1} & -\frac{s + \frac{\sqrt{2}}{2}}{s^2 + \sqrt{2}s + 1} \\ \frac{s}{s^2 + \sqrt{2}s + 1} & \frac{\frac{\sqrt{2}}{2}}{s^2 + \sqrt{2}s + 1} \end{bmatrix}.$$

Giacché per  $t \leq 0$  anche lo stato sarà al suo andamento di regime, applicando nuovamente il teorema della risposta armonica si può concludere che

$$\mathbf{x}(t) = \begin{bmatrix} x_1(t) \\ x_2(t) \end{bmatrix} = \begin{bmatrix} 0 \\ 5|H_{2,1}(2j)|\cos(2t + \arg(H_{2,1}(2j))) + 3H_{2,2}(0) \\ 5|H_{3,1}(2j)|\cos(2t + \arg(H_{3,1}(2j))) + 3H_{3,2}(0) \end{bmatrix} = \begin{bmatrix} 0 \\ 2.9704\cos(2t - 1.4303) - \frac{3}{2}\sqrt{2} \\ 2.4254\cos(2t - 0.8148) + \frac{3}{2}\sqrt{2} \end{bmatrix}.$$

Particolarizzando lo stato in  $t = 0$  si ottiene

$$\mathbf{x}(0) = \mathbf{x}_0 = \begin{bmatrix} x_{0,1} \\ x_{0,2} \\ x_{0,3} \end{bmatrix} \simeq \begin{bmatrix} 0 \\ -1.7054 \\ 3.7852 \end{bmatrix}$$

L'uscita calcolabile, per  $t > 0$ , è pari a

$$y_2(t) = \mathcal{L}^{-1}[\mathbf{c}(s\mathbf{I}_2 - \mathbf{A}_2)^{-1}\mathbf{x}_0 + \mathbf{c}(s\mathbf{I}_2 - \mathbf{A}_2)^{-1}\mathbf{B}\mathbf{U}(s)], \quad (1.1)$$

con

$$\begin{aligned} \mathbf{c}(s\mathbf{I}_2 - \mathbf{A}_2)^{-1} &= \begin{bmatrix} 0 & -\frac{s + \sqrt{2}}{s^2 + \sqrt{2}s + 1} & \frac{s}{s^2 + \sqrt{2}s + 1} \end{bmatrix}, \\ \mathbf{c}(s\mathbf{I}_3 - \mathbf{A}_2)^{-1}\mathbf{B} &= \mathbf{W}_1(s), \\ U_1(s) &= 0, \\ U_2(s) &= \frac{3}{s}, \end{aligned}$$

da cui, sostituendo nella (1.1), si ottiene

$$y_2(t) = \mathcal{L}^{-1}\left[-\frac{s + \sqrt{2}}{s^2 + \sqrt{2}s + 1}x_{0,2} + \frac{s}{s^2 + \sqrt{2}s + 1}x_{0,3} + 3\frac{s + \sqrt{2}}{s(s^2 + \sqrt{2}s + 1)}\right],$$

per  $t > 0$ . Tenendo conto dei valori numerici delle condizioni iniziali, si ottiene

$$y_2(t) \approx 2.4118e^{-\frac{\sqrt{2}}{2}t} \cos\left(\frac{\sqrt{2}}{2}t - 0.7854\right) + 5.3531e^{-\frac{\sqrt{2}}{2}t} \cos\left(\frac{\sqrt{2}}{2}t + 0.7854\right) + 3\sqrt{2} + 4.2426e^{-\frac{\sqrt{2}}{2}t} \cos\left(\frac{\sqrt{2}}{2}t + \pi\right),$$

per  $t > 0$ .

La risposta complessiva del sistema  $\forall t \in \mathbb{R}$  risulta dunque pari a (dopo aver usato le formule di riduzione trigonometriche)

$$y(t) \approx \begin{cases} 1.715 \cos(2t + 0.756) + 3\sqrt{2}, & t \leq 0, \\ 2.425e^{-\frac{\sqrt{2}}{2}t} \cos\left(\frac{\sqrt{2}}{2}t - 1.03\right) + 3\sqrt{2}, & t > 0. \end{cases}$$

## 2 ESERCIZIO

Con i valori dati, la funzione di trasferimento del sistema risulta essere pari a

$$G(s) = \frac{s+3}{s+2}.$$

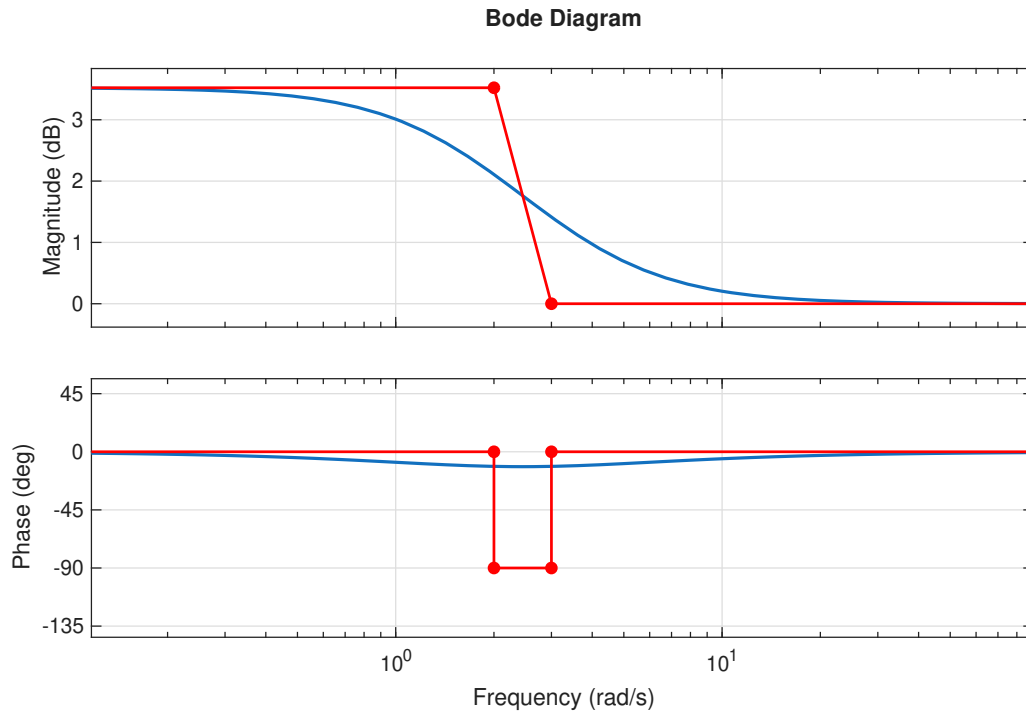


Figura 2.1: Diagramma di Bode della funzione di trasferimento  $G(s)$ .

La forma ingegneristica di tale funzione di trasferimento è pari a

$$G(s) = \frac{3 \frac{s}{2} + 1}{\frac{s}{2} + 1}.$$

Al numeratore ed al denominatore vi sono due termini monomi di molteplicità singola. I parametri riguardanti guadagno del sistema, tipo, costanti di tempo, smorzamenti e pulsazioni naturali sono pari a  $\mu = \frac{2}{3}$ ,  $g = 0$ ,  $\tau = \frac{1}{3}$  s,  $T = 0.5$  s. Le pulsazioni di rottura, in ordine crescente, sono quindi pari a  $\omega_1 = 1/|T| = 2$  rad/s,  $\omega_2 = 1/|\tau| = 3$  rad/s.

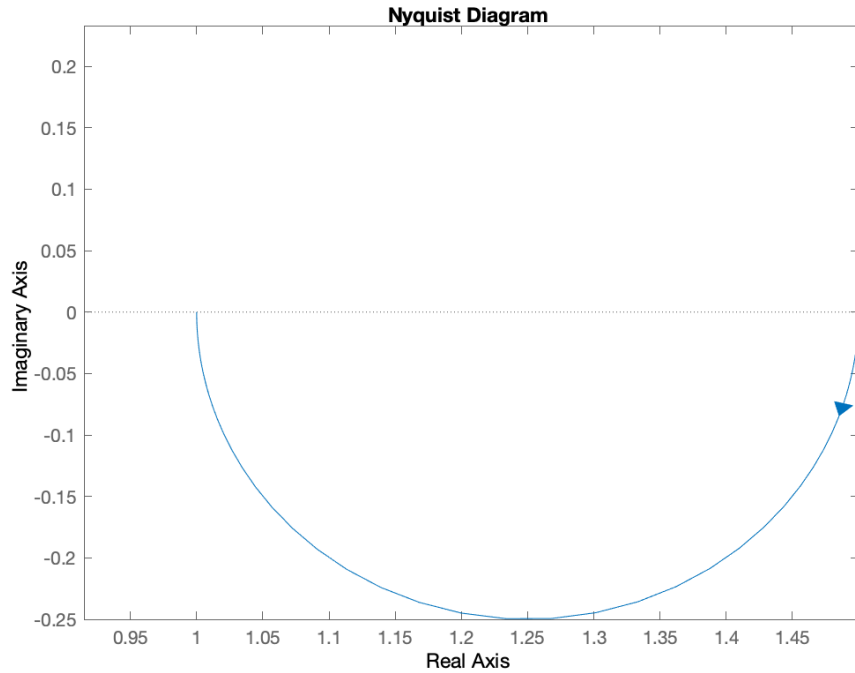


Figura 2.2: Diagramma di Nyquist della funzione di trasferimento  $G(s)$ .

Poiché il sistema è di tipo 0, il diagramma dei moduli partirà con un tratto costante del valore pari a  $\mu_{dB} \approx 3.5218$  dB. La prima pulsazione di rottura è in  $\omega_1$  ad opera del termine binomio al denominatore di molteplicità singola. La variazione di pendenza relativa del diagramma asintotico è di  $-20$  dB/decade. Il fattore correttivo in  $\omega_1$  è  $-3$  dB. La seconda pulsazione di rottura è in  $\omega_2$  ad opera del termine binomio al numeratore di molteplicità singola. La correzione relativa è di  $20$  dB/decade. Il fattore correttivo in  $\omega_2$  è di  $36$  dB.

Il diagramma delle fasi tiene conto delle solite tecniche di tracciamento. Quindi, il grafico parte da  $0$  deg siccome il guadagno  $\mu > 0$  e il sistema è di tipo 0. Il termine binomio al numeratore, di molteplicità singola, apporta un salto relativo del diagramma asintotico di  $90$  deg alla relativa pulsazione di rottura. Il termine binomio al denominatore, di molteplicità singola, apporta un salto relativo del diagramma asintotico di  $-90$  deg alla relativa pulsazione di rottura. Per effetto di questi contributi, il diagramma delle fasi termina con un tratto piatto pari a  $0$  deg.

Il tracciamento del diagramma polare (di Nyquist) può seguire il seguente procedimento. Il diagramma reale è rappresentato in Fig. 2.2. Poiché il sistema è di tipo 0, il grafico polare parte nel valore di  $\mu = 1.5$ . Inoltre, poiché il sistema è proprio, ossia il grado relativo è nullo, il diagramma polare terminerà al valore  $\lim_{\omega \rightarrow \infty} |G(j\omega)|_{dB} = 0$  dB. Questo valore va convertito non in decibel, quindi  $0\text{dB} = 1$ . Il diagramma di Nyquist termina quindi in 1.

Nel tratto iniziale, i diagrammi dei moduli e delle fasi indicano che il diagramma polare parte da zero con fase  $0$  deg e poi la fase decresce (quindi quarto quadrante). La fase, poi, ricresce monoticamente a partire da  $\omega \approx 2$  rad/s fino a tornare a  $0$  deg, quindi ad un punto sull'asse reale positivo.

### 3 ESERCIZIO

La forma ingegneristica di tale funzione di trasferimento è pari a

$$G(s) = \frac{s(s+5)(s+1)(s+50)}{(s^2+1)(s^2+2s+100)} = \frac{(1+s)\left(1+\frac{s}{5}\right)\left(1+\frac{s}{50}\right)}{s^{-1}(1+s^2)\left(1+\frac{2 \cdot 0.1}{10}s+\frac{s^2}{10^2}\right)}$$

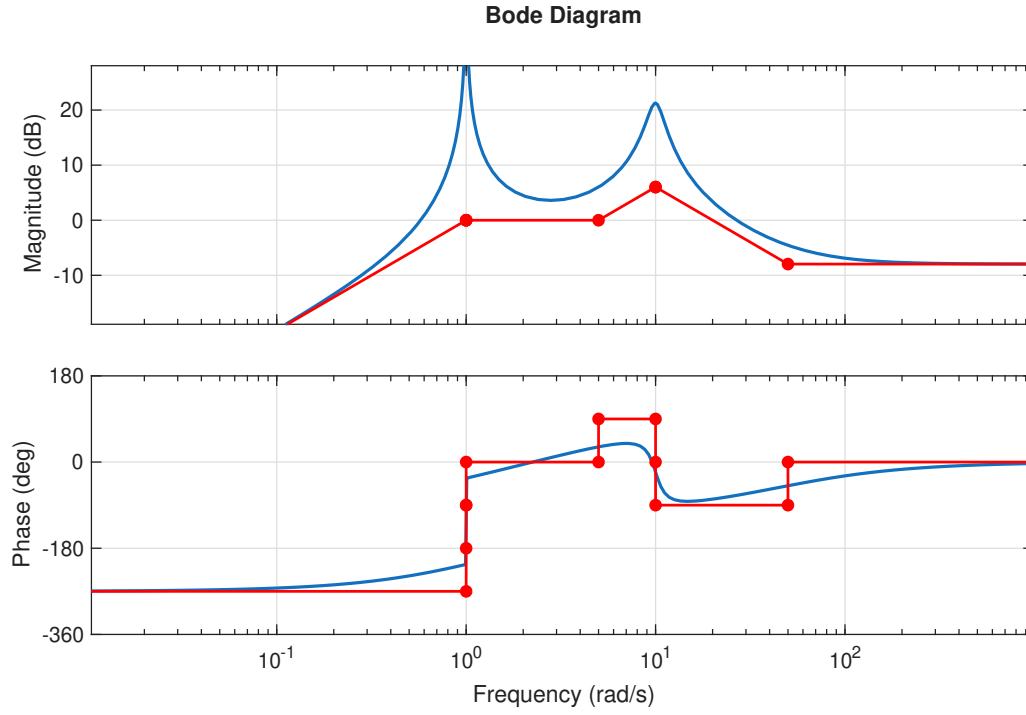


Figura 3.1: Diagramma di Bode della funzione di trasferimento  $G(s)$ .

Si riconoscono al numeratore tre termini binomio di molteplicità singola. Al denominatore, invece, vi è un termine monomio e due termini trinomi di molteplicità singola. I parametri riguardanti guadagno del sistema, tipo, costanti di tempo, smorzamenti e pulsazioni naturali sono pari a  $\mu = 1$ ,  $g = -1$ ,  $\tau_1 = 1$  s,  $\tau_2 = 0.2$  s,  $\tau_3 = 0.02$  s,  $\omega_{n1} = 1$  rad/s,  $\zeta_1 = 0$ ,  $\omega_{n2} = 10$  rad/s e  $\zeta_2 = 0.1$ . Le pulsazioni di rottura, in ordine crescente, sono quindi pari a  $\omega_1 = 1/|\tau_1| = \omega_{n1} = 1$  rad/s,  $\omega_2 = 1/|\tau_2| = 5$  rad/s,  $\omega_3 = \omega_{n2} = 10$  rad/s,  $\omega_4 = 1/|\tau_3| = 50$  rad/s.

Poiché il sistema è di tipo  $-1$ , il diagramma dei moduli partirà con un tratto rettilineo di pendenza 20 dB/decade che interseca l'asse  $\omega = 1$  rad/s nel valore di  $\mu_{dB} = 0$  dB. La prima pulsazione di rottura è in  $\omega_1$  ad opera sia del termine binomio al numeratore, di molteplicità singola, che del termine trinomio al denominatore, di molteplicità singola. La variazione di pendenza relativa del diagramma asintotico è di  $20 - 40 = -20$  dB/decade con una correzione di +3 dB dovuto al termine binomio al numeratore e di  $+\infty$  dB (asintoto verticale) per il termine trinomio al denominatore con  $\zeta_1 = 0$ . La seconda pulsazione di rottura è in  $\omega_2$  ad opera del termine binomio al numeratore di molteplicità singola. La variazione di pendenza relativa del diagramma asintotico è di 20 dB/decade, con correzione 3 dB alla pulsazione di rottura. La terza pulsazione di rottura è in  $\omega_3$  ad opera del termine trinomio al denominatore di molteplicità singola. La correzione relativa è di  $-40$  dB/decade. Poiché lo smorzamento è  $\zeta_2 = 0.1$ , in circa  $\omega_1$  vi sarà una correzione di  $P_R = \left| \frac{1}{2\zeta\sqrt{1-\zeta^2}} \right|_{dB} \approx 14$  dB. La quarta pulsazione di rottura è in  $\omega_4$  ad opera del termine binomio al numeratore di molteplicità singola. La correzione relativa è di 20 dB/decade. Il fattore correttivo in  $\omega_4$  è di 3 dB.

Il diagramma delle fasi tiene conto delle solite tecniche di tracciamento. Quindi, il grafico parte da  $-270$  deg (o alternativamente da 90 deg) siccome il guadagno  $\mu > 0$  e il sistema è di tipo  $-1$ . I termini binomio al numeratore, di molteplicità singola, apportano tutti un salto relativo del diagramma asintotico di 90 deg alla relativa pulsazione di rottura. Il primo termine trinomio al denominatore, con  $\zeta_1 = 0$ , di molteplicità singola, apporta un salto relativo del diagramma asintotico di  $\pm 180$  deg alla relativa pulsazione di rottura. Scegliamo arbitrariamente tra le due possibilità di apportare un tratto verticale positivo in  $\omega_1$  di 180 deg. Il secondo termine trinomio al denominatore, di molteplicità singola, apporta un salto relativo del diagramma asintotico di  $-180$  deg alla relativa pulsazione di rottura. Poiché  $\zeta_2 = 0.1$  si ha quasi un tratto verticale che va accennato, come da grafico.

Per effetto di questi contributi, il diagramma delle fasi termina con un tratto piatto pari a 0 deg.